

## ارزیابی آزمایشگاهی تأثیر نوع سطح تماس بر مقاومت اصطکاکی اتصالات پیچی\*

موسی محمودی صاحبی<sup>(۱)</sup> میلاد کوثری<sup>(۲)</sup> مهران لرستانی<sup>(۳)</sup>

**چکیده** نوع سطح تماس صفحات اتصال، تأثیر به‌سزایی بر مقاومت اصطکاکی اتصالات پیچی دارد. هدف این تحقیق ارزیابی آزمایشگاهی تأثیر نوع سطح تماس ورق‌ها بر مقاومت اصطکاکی اتصالات پیچی و همچنین پیشنهاد سطوح تماس جدید به‌منظور افزایش ظرفیت باربری اصطکاکی است. برای این منظور ۱۴ نمونه از اتصالات پیچی اصطکاکی با سطوح تماس مختلف انتخاب گردید. سطوح تماسی بررسی‌شده در این تحقیق، عبارتند از: ماسه‌پاشی شده، ماسه‌پاشی نشده، رنگ با ضخامت ۲۰ میکرون، رنگ با ضخامت ۴۰ میکرون، آج‌دار مثلثی و آج‌دار مربعی. نتایج آزمایش نشان داد که نمونه‌های آج‌دار مربعی و مثلثی، بیشترین مقاومت اصطکاکی را دارند و نمونه‌ی با سطح رنگ شده‌ی ۴۰ میکرون، دارای کمترین مقاومت است.

**واژه‌های کلیدی** مقاومت اصطکاکی، اتصال پیچی اصطکاکی، سطوح تماس اتصال، ضریب اصطکاک، سطوح آج‌دار.

## Experimental Evaluation of the Effect of Contact Surfaces on Friction Resistance of Bolt Connections

M. Mahmoudi

M. Kosari

M. Lorestani

**Abstract** The type of contact surface has a significant impact on the frictional resistance. Experimental evaluation of the effect of contact surfaces on bolt connections has been conducted in current research. The purpose of this study is to study the effect of different levels of contact surface on the frictional resistance and propose a new method for increasing frictional resistance. Contact surfaces used in this research are as follow: non sand-blasted, sand-blasted, coating with 20  $\mu$  thickness, coating with 40  $\mu$  thickness, triangular corrugated surface and squared corrugated surface. The results indicate that, the highest and the lowest bearing capacity were captured according to corrugated surface and 40  $\mu$  coated surface, respectively.

**Key Word** Friction Resistance, Bolt friction connection, Connection surfaces, Friction coefficient, Corrugated surface.

\* تاریخ دریافت مقاله ۹۸/۷/۷ و تاریخ پذیرش آن ۹۹/۸/۳ می‌باشد.

Email: m.mahmoudi@sru.ac.ir

(۱) نویسنده مسئول، دانشیار گروه مهندسی سازه و زلزله، دانشگاه تربیت دبیر شهید رجایی.

(۲) کارشناس ارشد مهندسی سازه، دانشگاه تربیت دبیر شهید رجایی.

(۳) کارشناس ارشد مهندسی سازه، دانشگاه تربیت دبیر شهید رجایی.

### مقدمه

اتصالات در همه‌ی سازه‌ها از جمله سازه‌های فولادی یکی از اجزای مهم سازه به شمار می‌آیند و عامل اصلی یکپارچگی عملکرد سیستم سازه‌ای هستند. به‌طور کلی نوع و رفتار اتال مشخص‌کننده‌ی عملکرد قاب خواهد بود. یک اتصال ضعیف و نامناسب می‌تواند منجر به ضعف اساسی در سازه‌های فولادی گردد. اتصالات پیچی به دلیل سرعت بسیار بالا در اجرا و اطمینان از رفتار آنها، از بهترین انواع اتصال در سازه‌های فولادی هستند که در سال‌های اخیر مورد توجه مهندسان قرار گرفته‌اند. این اتصالات یکی از انواع اتصالات جداشدنی است که در صنایع مختلف مورد استفاده قرار می‌گیرد. هرگاه اتصالی مورد نیاز باشد که بتوان بدون شکست قطعات، آنها را از هم جدا نمود و درعین حال در برابر بارهای کششی، برشی و گشتاورهای وارده یا ترکیبی از آنها و همچنین بارهای متناوب به‌اندازه‌ی کافی مقاوم باشد، به کارگیری اتصالات پیچی از فولاد های پرمقاومت، گزینه‌ی مناسبی است. اتصالات پیچی به دو گروه اتصالات اصطکاکی و اتکایی تقسیم می‌شوند. مطابق مبحث دهم مقررات ملی [1] استفاده از اتصالات اصطکاکی در طراحی لرزه‌ای سازه‌ها اجباری است. بنابراین در اکثر سازه‌ها از این اتصالات اصطکاکی استفاده می‌شود. در این اتصالات با اعمال گشتاور پیچشی جهت بستن پیچ‌ها، نیروی کششی در راستای محور پیچ به وجود می‌آید که به نیروی پیش‌تندیدگی معروف است. از آنجایی که ساخت قطعات ساختمان‌های با اتصالات پیچی در کارخانه و نصب آنها در محل پروژه، صورت می‌پذیرد، لذا خطاهایی مانند تغییر اندازه‌ی سوراخ پیچ‌ها، عدم رعایت فاصله‌ی مناسب پیچ‌ها و سوراخ‌ها از لبه‌ی ورق اتصال، وجود خرابی و آلودگی در محل سطح اتصال و عدم تأمین نیروی پیش‌تندیدگی پیچ‌ها به وجود می‌آید که می‌تواند نتایج طراحی را دستخوش تغییرات زیادی کند. در اتصالات پیچی اصطکاکی، دو عامل در مقدار

مقاومت اتصال، تأثیرگذار است که عبارتند از: مقدار پیش‌تندیدگی در پیچ‌ها و مقدار ضریب اصطکاک سطح در تماس با یکدیگر. در همین راستا به‌منظور طراحی بهینه‌ی اتصالات پیچی اصطکاکی باید تأثیر این عوامل را بر روی میزان مقاومت اتصال به‌درستی لحاظ کرد و باید بررسی شود که میزان تأثیر ضخامت رنگ بر روی اتصالات پیچی اصطکاکی چگونه و به چه اندازه است؟ در صورت ماسه‌پاشی کردن نمونه‌ها، به چه میزان ظرفیت اتصالات اصطکاکی افزایش یا کاهش می‌یابد؟ با چه روشی می‌توان مقدار مقاومت اصطکاکی نمونه‌ها را افزایش داد؟

در طراحی لرزه‌ای سازه‌ها، به دلیل این که انتظار می‌رود ساختمان‌هایی با اهمیت متوسط مثل ساختمان‌های مسکونی در برابر زلزله‌ی سطح ضعیف یا بهره‌برداری دارای عملکرد قابلیت بهره‌برداری باشند و اتصالات آنها در برابر این زلزله‌ها بدون لغزش باقی بمانند، لذا اتصالات پیچی آنها به‌صورت اصطکاکی طراحی می‌شوند. در صورتی که این هدف برای ساختمان‌هایی با اهمیت خیلی زیاد مثل بیمارستان‌ها متفاوت است. بیمارستان‌ها باید در برابر زلزله‌ی شدید یا طرح قابل بهره‌برداری باقی بمانند، لذا نیاز به مقاومت اصطکاکی بیشتری دارند. بنابراین دانستن این موضوع بسیار مهم است که آیا می‌شود با استفاده از سطوح تماس جدید مقاومت اتصالات پیچی اصطکاکی را افزایش داد؟

زینالی و همکاران [2] مطالعاتی بر روی پدیده‌ی برش قالبی در اتصالات اصطکاکی انجام دادند. برش قالبی یکی از مدهای خرابی اتصالات پیچی است که قبل از رسیدن نمونه به استحکام نهایی اتفاق می‌افتد. در این مقاله اثر اصطکاک در اتصالات پیچی بر مقاومت و مد شکست برش قالبی به‌روش آزمایشگاهی و عددی مورد بررسی قرار گرفت. در این مقاله ویژگی‌های مصالح، تعداد پیچ‌ها، مقدار ضریب اصطکاک و نوع عملکرد اتصال به‌عنوان متغیرهای مؤثر در رفتار

مقاومت اصطکاکی را با استفاده از روش عددی و آزمایشگاهی، بررسی کردند. آنها نتیجه گرفتند، صاف شدن رزوه‌ها و باریک شدن ساق رزوه شده‌ی پیچ‌ها، تحت تأثیر زاویه‌ی بین رزوه‌های داخلی و خارجی تنه‌ی پیچ‌ها است.

شهبانی [7] بر روی اثر پیش بارگذاری بر روی عمر خستگی پیچ‌ها کار کرد. در این مطالعه اثر مقدار پیش‌تندگی مورد نقد و بررسی قرار گرفت و یک سری نمودار نیرو-تکرار برای بررسی این موضوع با سطوح مختلف پیش‌تندگی ترسیم شد. به‌همین منظور یک دستگاه آزمایش ساخته شد تا به کمک آن بتوان نتایج را مورد بررسی قرار داد. نتایج آزمایش‌ها نشان می‌دهد که نیروی پیش‌تندگی با افزایش سهم تنش‌های تولید شده در پیچ باعث کاهش محدود‌ی استقامتی پیچ‌ها می‌شود. با این حال خارج از مقدار میانگین تنش‌ها، مقدار مقاومت نیز افزایش می‌یابد.

تیم و همکاران [8] خصوصیات کششی اتصالات اصطکاکی با پیچ‌های پر مقاومت را بر اساس زوال نیروی پیش‌تندگی در اثر آسیب‌دیدگی سر پیچ‌ها بررسی کردند. آنها ۱۸ نمونه اتصال پیچی تست نمودند تا مقاومت کششی آنها را بررسی کنند. در این نمونه‌ها آسیب مصنوعی بر روی کلگی پیچ ایجاد شد که باعث از دست رفتن نیروی پیش‌تندگی شد. در این نمونه‌ها، مقاومت اصطکاکی نمونه‌ها متأثر از نیروی پیش‌تندگی بود و از این رو بار اصطکاکی آنها به مقدار کمی کاهش یافت که این مقدار بستگی به مقدار آسیب کلگی پیچ داشت. برای پیش‌بینی مقاومت اصطکاکی اتصالات اصطکاکی پیچی از رابطه‌ی اصطکاک بار-نیروی پیش‌تندگی، معادله‌ی مقاومت اصطکاکی مورد استفاده قرار گرفت.

فنگ وی و همکاران [9] یک مطالعه‌ی آزمایشگاهی و عددی بر روی رفتار شکست اتصالات پیچی فولادی با آرایش‌های هندسی مختلف انجام دادند. آنها ۳۶ نمونه را با مقیاس واقعی تحت آزمایش کشش قرار دادند. پارامتر اصلی آزمایش شامل الگوی هندسی اتصال، جزئیات اتصال از قبیل فاصله‌ی طولی و عرضی بین پیچ‌ها، فاصله‌ی لبه و مصالح بود. نتایج نشان داد که

اتصالات پیچی پر مقاومت مورد بررسی قرار گرفت. این نتایج مطابقت خوبی با نتایج آزمایش‌های انجام‌شده در این زمینه داشته‌است. آنها نتیجه گرفتند با افزایش ضریب اصطکاک سطوح، کاهش ضخامت ورق‌ها و کاهش مقاومت مصالح نمونه‌ها، مقاومت اصطکاکی اتصالات افزایش می‌یابد. در انتها به بررسی و مقایسه‌ی روابط پیش‌بینی گسیختگی برش قالبی پرداختند و یک فرمول برای پیش‌بینی مد شکست قالبی ارائه دادند.

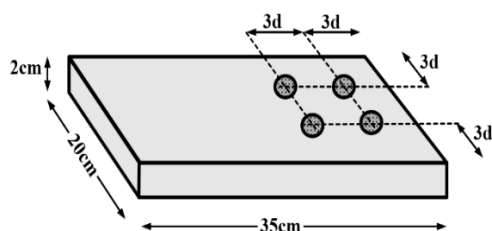
کوچاکس و همکاران [3] به منظور بررسی اثر تماس بر روی اتصالات پیچی مطالعات آزمایشگاهی و تحلیلی انجام دادند. مطالعه‌ی آنها بر روی اتصالات پیچی بدون اعمال نیرو بر روی پیچ‌ها متمرکز بود. نتایج آزمایشگاهی و تحلیلی نشان داد که نیروی تماسی بین اجزای به هم متصل شده تأثیر به‌سزایی در رفتار اتصالات فلنجی و L شکل تحت تأثیر نیروی کششی دارد. نتایج تأیید می‌کند که در صورت افزایش مقدار نسبی سختی فلنج، سختی پیچ‌ها کاهش پیدا می‌کند و پدیده‌ی اهرمی شدن، افزایش می‌یابد.

رود گرز و همکاران [4] در یک تحقیق آزمایشگاهی و تحلیلی، تأثیر مصالحی به نام شیم بر نیروی لغزش اتصالات اصطکاکی را بررسی کردند. در این پژوهش اتصالات اصطکاکی نامتقارن به‌طور کامل به صورت غیرخطی مدل‌سازی شدند. هم‌چنین در این مطالعه تأثیر رنگ نیز مورد آزمایش قرار گرفت. نتایج این تحقیق نشان داد که افزایش دامنه‌ی اصطکاک تغییرات خوبی را در منحنی هیستریزس ایجاد می‌کند و باعث تأخیر در زوال منحنی می‌شود.

در سال ۲۰۱۶ شانون و همکاران [5] در زمینه‌ی اتصالات اصطکاکی با استفاده از آج‌زدن ورق‌ها به منظور افزایش ظرفیت اتصال کار کردند. در این تحقیق ۱۸ نمونه شامل ۴ نمونه اتصال پیچی پر مقاومت و ۱۴ نمونه اتصال پیچی آج‌دار مورد آزمایش قرار گرفت. مد اصلی خرابی این اتصالات، خرابی برشی پیچ‌ها، جابه‌جایی ورق‌ها و هرز شدن پیچ‌ها بوده‌است.

یینگ هو و همکاران [6] رفتار اتصالات پیچی پر

شده است، فاصله پیچ‌ها از لبه برابر ۶۰ میلی‌متر و فاصله‌ی محور تا محور پیچ‌ها در راستای موازی با بارگذاری و عمود بر بارگذاری برابر ۸۰ میلی‌متر لحاظ شده است.



شکل ۱ جزئیات هندسی نمونه‌های آزمایش

پیچ‌های مورد استفاده از نوع پر مقاومت A490 با قطرهای ۱۶، ۲۰، ۲۲ و ۲۴ با طول ۷ سانتی‌متر انتخاب شد. برای اینکه ناحیه‌ی رزوه شده در محل اتصال دو ورق قرار نگیرد از پیچ‌هایی با طول ناحیه‌ی رزوه نشده برابر ۶۰٪ طول کل پیچ استفاده شد. برای بررسی تأثیر نوع سطح تماس در میزان مقاومت، سطوح تماس تمیز شده با ماسه پاشی، بدون ماسه پاشی، رنگ شده با ضخامت های ۲۰ و ۴۰ میکرون و سطوح تماس آج‌دار شده با شیارهای مثلثی و مربعی انتخاب گردید. برای آج‌دار کردن سطوح تماس از دستگاه فرز میزی استفاده شد (شکل ۲). برای پیش‌تنیده کردن پیچ‌های پر مقاومت از آچار ترک‌متر بر اساس ضوابط پیشنهادی در مبحث دهم استفاده شد. بر اساس ضوابط مبحث دهم مقررات ملی، برای ایجاد نیروی پیش‌تنیدگی در پیچ‌های با قطر ۱۶ میلی‌متر، لنگر پیچشی ۳۵۰ نیوتن متر باید اعمال شود. در تمامی آزمایش‌ها در قسمت زیر کلگی پیچ و زیر مهره از واشر استفاده شد.

برای نمونه‌های با قطر ۱۶ میلی‌متر، سطوح سندبلاست‌نشده، سندبلاست‌شده، رنگ شده با ضخامت مختلف و آج‌دار به شکل‌های مربعی و مثلثی در نظر گرفته شد. برای نمونه‌های با قطر ۲۰، ۲۲ و ۲۴ میلی‌متر فقط سطوح سندبلاست‌نشده و سندبلاست‌شده مد نظر قرار گرفت. در تمامی اتصالات، نوع سوراخ از نوع

پیش‌بینی ظرفیت نهایی از قاعده‌ی  $g/2S$  پیروی می‌کند.

یان بو وانگ و همکاران [10] ۲۴ اتصال پیچی ساخته شده از نوع فولاد پر مقاومت با مقاومت تسلیم اسمی ۵۵۰، ۶۹۰ و ۸۹۰ مگاپاسکال برای بررسی رفتار اتصالات فولادی پر مقاومت استفاده نمودند. آنها در این پژوهش اثرات فاصله‌ی انتهایی سوراخ از لبه و فاصله‌ی سوراخ‌ها از هم و نوع فولاد بر روی رفتار باربری پیچ را مورد بررسی قرار دادند. میزان کشیدگی سوراخ پیچ به دلیل باربری پیچ روی ورق فولاد اندازه‌گیری شد و مقاومت باربری ورق مورد بحث قرار گرفت.

هدف این تحقیق ارزیابی آزمایشگاهی تأثیر نوع سطح تماس ورق‌ها بر مقاومت اصطکاکی اتصالات پیچی و همچنین پیشنهاد سطوح تماس جدید به منظور افزایش ظرفیت باربری اصطکاکی است. سطوح تماسی که در این تحقیق مورد بررسی قرار گرفتند عبارتند از: سطح تماس ماسه پاشی شده، ماسه پاشی نشده، رنگ با ضخامت ۲۰ میکرون، رنگ با ضخامت ۴۰ میکرون، سطح آج‌دار مثلثی و سطح آج‌دار مربعی.

### روش تحقیق

در این تحقیق به منظور ارزیابی تأثیر نوع سطح تماس بر مقاومت اتصالات پیچی اصطکاکی از مطالعات آزمایشگاهی استفاده شد. با اندازه‌گیری نیروی اعمالی به اتصال و تغییر شکل ایجاد شده، منحنی بار-تغییر شکل برای اتصالات ترسیم گردید و به کمک آنها مقاومت اتصالات پیچی تعیین شد.

### نمونه‌های مورد استفاده

در این تحقیق ۱۴ اتصال با شرایط مختلف آزمایشگاهی آماده‌سازی شد. در تمامی حالت‌ها از ۴ پیچ استفاده شد. در تمامی نمونه‌های آزمایشگاهی ضخامت صفحات اتصال برابر ۲۰ میلی‌متر، عرض صفحات برابر ۲۰۰ میلی‌متر و طول صفحات برابر ۳۵۰ میلی‌متر در نظر گرفته شد. همان‌طور که در شکل (۱) نشان داده

C40 به معنی ۴۰ میکرون رنگ، Tr به معنی آج مثلثی و Sq به معنی آج مربعی است. قطر پیچ بعد از حرف F و ضخامت آج بعد از علامت اختصاری مربوط نوشته می شود؛ به عنوان مثال نمونه‌ی F16C40 یعنی اتصال با پیچ‌هایی به قطر ۱۶ میلی‌متر و ۴۰ میکرون رنگ.

استاندارد بود که با استفاده از روش مته‌ی دوار و ۲ میلی‌متر بزرگ‌تر از قطر پیچ ایجاد گردید. نمونه‌های مورد آزمایش براساس قطر پیچ و نوع حالت سطح اتصال دسته‌بندی و نام‌گذاری شدند (جدول ۱). در نام‌گذاری S به معنی ماسه‌پاشی شده، NS به معنی ماسه‌پاشی نشده، C20 به معنی ۲۰ میکرون رنگ،



شکل ۲ آج زدن صفحات اتصال

جدول ۱ جزئیات نمونه‌های آزمایشگاهی

نام نمونه	نوع سطح تماس	قطر پیچ	نیروی پیش‌تنیدگی (تن)
F16S	سندبلاست شده	M16	۱۱/۴
F16NS	سندبلاست نشده	M16	۱۱/۴
F16C40	رنگ شده با ضخامت ۴۰ میکرون	M16	۱۱/۴
F16C20	رنگ شده با ضخامت ۲۰ میکرون	M16	۱۱/۴
F16Tr1	آج دار با ارتفاع ۱ میلی‌متر	M16	۱۱/۴
F16Tr1.5	آج دار با ارتفاع ۱,۵ میلی‌متر	M16	۱۱/۴
F16Sq1	آج دار با ارتفاع ۱ میلی‌متر	M16	۱۱/۴
F16Sq1.5	آج دار با ارتفاع ۱,۵ میلی‌متر	M16	۱۱/۴
F20S	سندبلاست شده	M20	۱۷/۴
F20NS	سندبلاست نشده	M20	۱۷/۴
F22S	سندبلاست شده	M22	۲۲/۱
F22NS	سندبلاست نشده	M22	۲۲/۱
F24S	سندبلاست شده	M24	۲۵/۷
F24NS	سندبلاست نشده	M24	۲۵/۷

### نحوه انجام آزمایش

در انجام آزمایش‌ها، نمونه‌ها میان دو فک دستگاه یونیورسال قرار گرفتند و به آنها نیروی کششی اعمال شد. برای ثبت نتایج به دست آمده از آزمایش‌ها، از دستگاه LVDT و دیتالاگر استفاده شد تا میزان جابه‌جایی ناحیه‌ی اتصال با دقت بالایی ثبت گردد. شکل (۳) دستگاه کشش مورداستفاده در تحقیق را از مدل 1000B-WEW با ظرفیت ۱۰۰ تن نشان می‌دهد. دستگاه یونیورسال، با دو فک کتابی شکل، نمونه‌ها را تحت نیروی کششی قرار می‌دهد، به این صورت که فک پایین ثابت و فک بالا حرکت می‌کند. فک‌های دستگاه کشش این قابلیت را دارند که نمونه‌های اتصال را در راستای مستقیم قرار دهند تا نمونه تحت نیروی همراه با خروج از محوریت قرار نگیرد. میزان سرعت بارگذاری به صورت دستی قابل تنظیم است که براساس ASTM میزان سرعت بارگذاری ۲ میلی‌متر بر دقیقه تنظیم شد. دستگاه کشش یونیورسال نمودارهایی به صورت نیرو-جابه‌جایی، تنش-کرنش و نیرو-زمان را اندازه‌گیری می‌نماید. منحنی نیرو-جابه‌جایی میزان جابه‌جایی اندازه‌گیری شده‌ی واقع در دو سر فک است که این جابه‌جایی شامل جابه‌جایی ناحیه‌ی اتصال، کش آمدن ورق فولادی و سر خوردن فک‌ها است. بنابراین

برای بررسی جابه‌جایی محل اتصال در اتصالات پیچی اصطکاکی نیاز به در نظر گرفتن میزان جابه‌جایی در محل اتصال است لذا برای مشخص کردن مقدار دقیق جابه‌جایی در محل اتصال از دستگاه LVDT استفاده شد. به این صورت که با قرار دادن LVDT روی پایه‌ی ساعتی و قرار دادن پایه‌ی ساعتی در انتهای محل اتصال و با جوش دادن ورقی عمود بر ورق اتصال دیگر به عنوان مبنا در ابتدای اتصال میزان جابه‌جایی در این ناحیه مشخص شد، اما از آنجایی که خروجی‌های دستگاه یونیورسال و دستگاه LVDT به صورت فایل جداگانه ذخیره می‌شوند بنابراین باید خروجی‌های دستگاه یونیورسال WEW-B1000 با خروجی‌های LVDT از لحاظ رکوردگیری قابلیت تطابق داشته باشند. خروجی‌های نیروی رکوردشده توسط دستگاه یونیورسال WEW-B1000 هر یک‌دهم ثانیه ذخیره می‌شدند و دستگاه LVDT توانایی رکورد از ۲۰ میلی‌ثانیه تا چند ثانیه را داشت که در این حالت جابه‌جایی‌های به دست آمده از LVDT براساس دستگاه یونیورسال یعنی هر یک‌دهم ثانیه تنظیم شد تا نیروی به دست آمده از خروجی دستگاه یونیورسال و جابه‌جایی به دست آمده از خروجی LVDT با هم مطابقت داشته باشند.



شکل ۳ تست کشش

پیش‌تنیدگی حداقل پیچ‌ها است که مساوی ۱/۱۳ است.  $h_f$  ضریب کاهش در صورت وجود ورق‌های پرکننده در بین قطعات متصل به یکدیگر است که در صورت عدم نیاز به ورق‌های پرکننده در بین قطعات متصل به یکدیگر مساوی ۱ در نظر گرفته می‌شود.  $T_b$  حداقل نیروی پیش‌تنیدگی مطابق جدول پیشنهادی آیین‌نامه است و  $n_s$  تعداد صفحات لغزش می‌باشد. در هر آزمایش خروجی نیرو-جاب‌جایی برای نمونه‌ها گرفته شد و مقادیر ظرفیت باربری اتصالات اصطکاکی پیچی باتوجه به ضرایب و رابطه‌ی پیشنهادی مبحث دهم مقررات ملی به‌دست آمد و با یکدیگر مقایسه گردید.

شکل (۴) یکی از نمونه‌های آزمایشگاهی را بعد از اعمال بارگذاری نشان می‌دهد. بعد از انجام آزمایش توسط دستگاه یونیورسال، نمونه‌ها به‌دلیل اعمال نیروی کششی دچار مقداری اعوجاج می‌شدند که در نمونه‌های آج مربعی به‌دلیل اعمال نیروی بیشتر بر این نمونه‌ها مشهودتر بود.

به‌دلیل حفاظت از دستگاه آزمایش و جلوگیری از آسیب به آن در اثر خرابی ناگهانی نمونه‌ها، بارگذاری نمونه‌های اتصال با سطوح تماس بدون آج، تا زمانی ادامه می‌یابد که اتصال از ناحیه‌ی اصطکاکی خارج شود و نمونه وارد ناحیه‌ی اتکایی گردد. هم‌چنین بارگذاری نمونه‌های آج‌دار تا قبل از خرابی نمونه ادامه می‌یابد.

مطابق رابطه‌ی پیشنهادی در مبحث دهم مقررات ملی، مقدار مقاومت اتصالات پیچی اصطکاکی براساس کنترل لغزش بحرانی تعیین می‌گردد و برای محاسبه‌ی ظرفیت باربری اتصالات پیچی از معادله‌ی زیر استفاده می‌شود:

$$R_{nv} = \phi \mu D_u h_f T_b n_s \quad (1)$$

که در آن  $\mu$  مربوط به تعیین وضعیت سطحی است. این مقدار برای کلاس A یعنی سطوح فلس‌دار تمیز و رنگ شده برابر ۰/۵ و برای وضعیت سطحی کلاس B، یعنی سطح تمیز شده با ماسه‌پاشی و رنگ‌نشده برابر ۰/۳ است.  $D_u$  نسبت پیش‌تنیدگی متوسط پیچ‌ها به



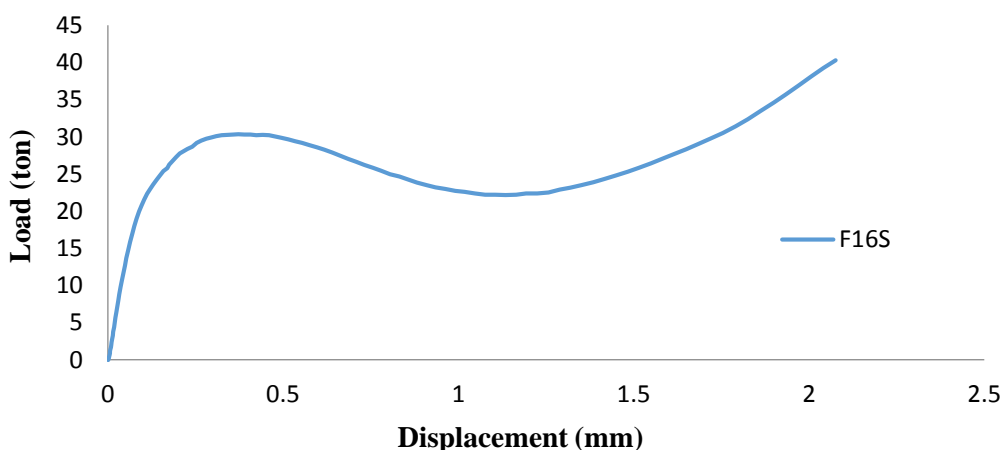
شکل ۴ نمونه بعد از آزمایش

### نتایج آزمایش

بروز می‌کند. به همین دلیل بعد از لغزش در مراحل اولیه، مقاومت اتصال کاهش می‌یابد و با اتکای ورق به پیچ، دوباره مقاومت افزایش پیدا می‌کند. به دلیل حفاظت از دستگاه آزمایش ناشی از شکست ناگهانی، اعمال بار تا شکست ناگهانی ادامه پیدا نکرد. از آنجایی که هدف این تحقیق تعیین مقاومت اصطکاکی اتصالات است، این محدودیت مشکلی ایجاد نمی‌کند.

بر اساس شکل (۵) می‌توان مقاومت اصطکاکی نمونه‌ی مورد آزمایش را تعیین کرد. نمونه‌ی F16S دارای مقاومت اصطکاکی آزمایشگاهی برابر ۳۰/۳۳ تن است. مقاومت اصطکاکی این اتصال بر اساس ضوابط پیشنهادی مبحث دهم مقررات ملی با سطح تماس کلاس B (ماسه‌پاشی شده و رنگ‌نشده) برابر ۲۵/۷۶ تن است. بنابر این می‌توان نتیجه گرفت مقاومت اتصال بر اساس نتایج آزمایشگاه بیشتر از مقاومت محاسبه شده بر اساس مبحث دهم مقررات ملی است. این اختلاف بیانگر آن است که در عمل میزان ضریب اصطکاک، بیشتر از ضریب اصطکاک پیشنهادی در مبحث دهم است.

در شکل (۵) منحنی حاصل از آزمایش برای نمونه‌ی F16S (اتصال با پیچ M16 پر مقاومت و سطح تماس ماسه‌پاشی شده‌ی بدون رنگ) ارائه شده است. محور افقی این منحنی بیانگر جابه‌جایی و محور قائم آن نشان‌دهنده‌ی نیروی اعمالی است. این منحنی در ابتدا دارای شیب مثبت بسیار زیاد است. پس از آن دارای شیب منفی می‌شود و در انتها دوباره شیب آن مثبت می‌گردد. قسمت اول منحنی، بیانگر مقاومت اصطکاکی است. این ناحیه جابه‌جایی بسیار اندکی دارد. قسمت دوم در اثر جابه‌جایی و لغزش ورق‌ها ایجاد می‌شود. این حالت تا جایی ادامه دارد که تنه‌ی پیچ به دیواره‌ی سوراخ ورق برخورد کند. هرچه لغزش بیشتر می‌شود مقاومت کمتر می‌شود. قسمت سوم به دلیل مقاومت اتکایی و تبدیل ضریب اصطکاک از حالت ایستایی به حالت دینامیکی است و نشان می‌دهد که اتصال وارد حالت اتکایی شده است. بنابراین می‌توان گفت اتصالات دارای دو مقاومت اصطکاکی و اتکایی می‌باشند. مقاومت اصطکاکی در ابتدا بروز می‌کند و وقتی لغزش اتفاق می‌افتد این مقاومت از دست می‌رود و مقاومت اتکایی

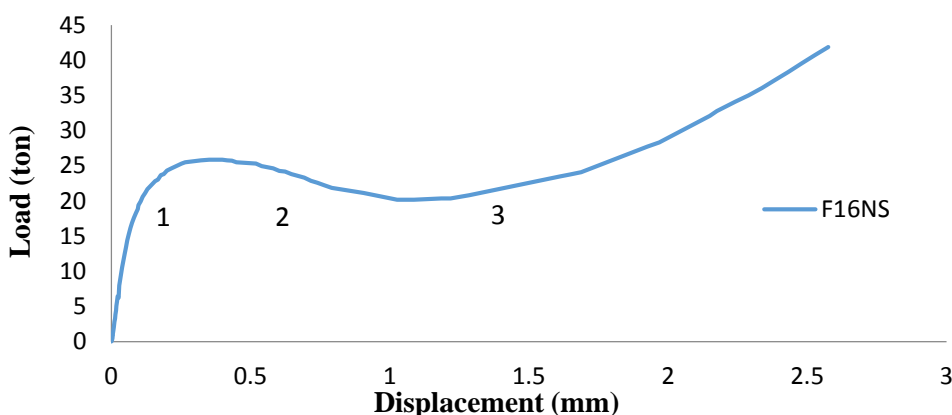


شکل ۵ منحنی نیرو- جابه‌جایی اتصال نمونه‌ی F16S

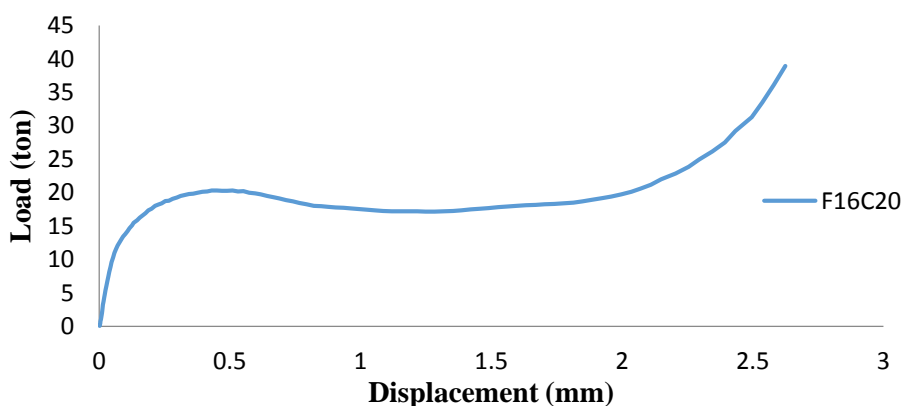


نمونه‌ی F16C20 شامل پیچ‌های M16 پرمقاومت و نوع سطح تماس، رنگ‌شده با ضخامت ۲۰ میکرون است که مقاومت اصطکاکی آزمایشگاهی آن معادل ۲۰/۳۲ تن است و در جابه‌جایی ۰/۳ میلی‌متر اتفاق می‌افتد. وقتی مقدار جابه‌جایی به ۲ میلی‌متر می‌رسد، دوباره مقاومت افزایش می‌یابد. براساس ضوابط مبحث دهم مقررات ملی ساختمان، مقاومت اصطکاکی این اتصال با سطح تماس کلاس A (ماسه‌ی تمیز و رنگ‌شده) برابر ۱۵/۴۵ تن است. مشاهده می‌شود که در این حالت نیز مقدار حاصل از آزمایش بیشتر از مقدار آیین‌نامه‌ای است؛ لذا می‌توان گفت که رنگ، مقاومت اصطکاکی را به‌طور قابل‌ملاحظه‌ای کاهش می‌دهد. در مبحث دهم مقررات ملی، در صورت استفاده از رنگ برای ناحیه‌ی اتصال اصطکاکی، فقط ۲۰ میکرون ضخامت رنگ مجاز است.

در شکل (۶) منحنی حاصل از آزمایش برای نمونه‌ی F16NS (اتصال با پیچ M16 پرمقاومت و سطح تماس ماسه‌پاشی نشده‌ی بدون رنگ) ارائه شده است. براساس این شکل، مقاومت نمونه تا مقدار ۲۵/۸۸ تن افزایش پیدا می‌کند و پس از لغزش سطوح، با شیب ملایم کاهش پیدا می‌کند. مقاومت ماکزیمم در جابه‌جایی ۰/۳ میلی‌متر اتفاق می‌افتد. افزایش مقاومت پس از جابه‌جایی ۲ میلی‌متر اتفاق می‌افتد. نتایج نشان می‌دهد این اتصال دارای مقاومت اصطکاکی برابر ۲۵/۸۸ تن است و ماسه‌پاشی نکردن، باعث کاهش مقاومت اصطکاکی می‌شود. در مبحث دهم مقررات ملی، این حالت برای سطح تماس مجاز نیست و در نتیجه برای این حالت ضریب اصطکاکی پیشنهاد نشده است. شکل (۷) مربوط به نمونه‌ی F16C20 است.



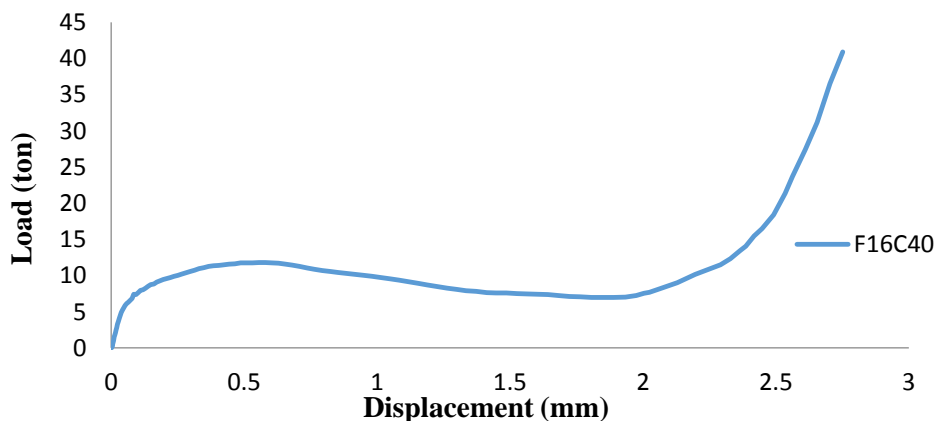
شکل ۶ منحنی نیرو- جابه‌جایی اتصال نمونه‌ی F16NS



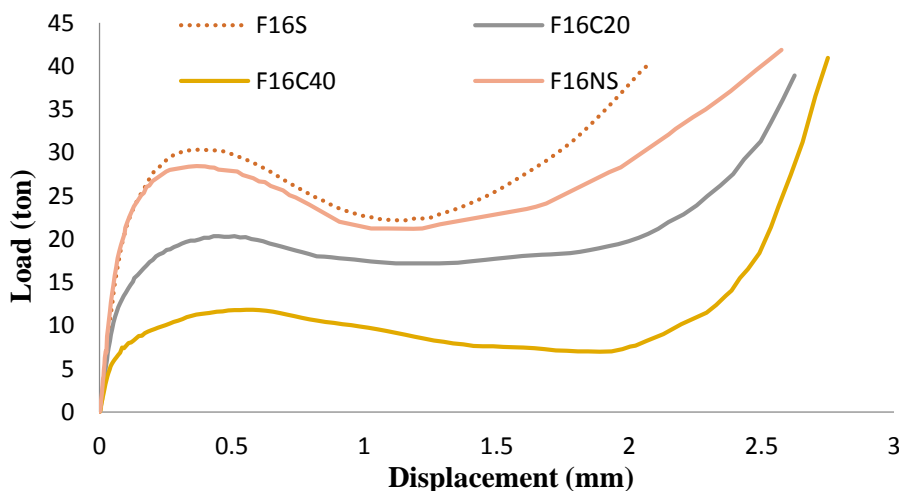
شکل ۷ منحنی نیرو- جابه‌جایی اتصال نمونه‌ی F16C20

در شکل (۹) نتایج مربوط به نمونه های با پیچ M16 و نوع سطح تماس مختلف ارائه شده است. در تمامی آنها مقاومت اصطکاکی اتصال در جابه جایی ۰/۳ میلی متر اتفاق می افتد. در تمامی حالت ها پس از مقاومت اصطکاکی به دلیل لغزش، یک افت مقاومت اتفاق می افتد. همان گونه که از شکل مشخص است کمترین مقاومت اصطکاکی مربوط به حالت رنگ شده با ضخامت ۴۰ میکرون و بیشترین مقاومت مربوط به حالت ماسه پاشی شده ی بدون رنگ است. هر چند مقاومت نظیر حالت ماسه پاشی شده و نشده چندان تفاوتی با هم ندارد.

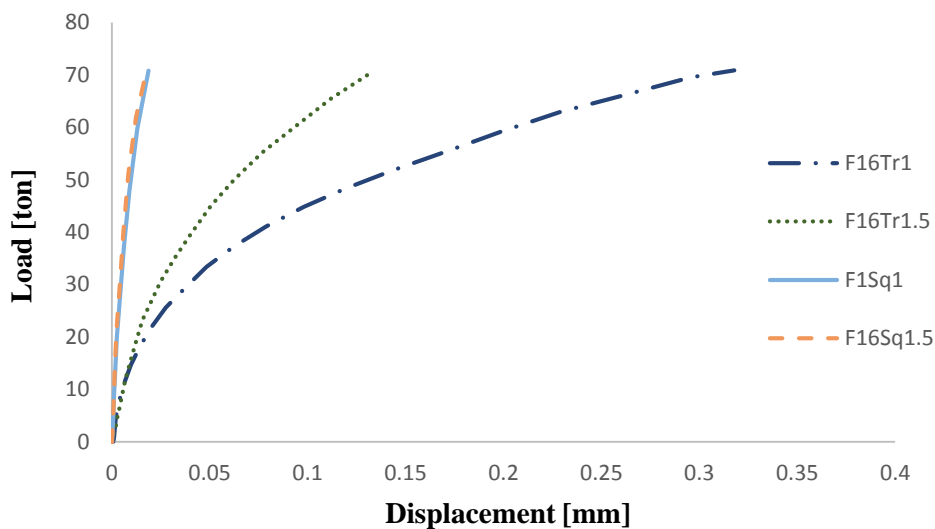
شکل (۸) مربوط به نمونه ی F16C40 شامل پیچ های M16 پر مقاومت و نوع سطح تماس رنگ شده با ضخامت ۴۰ میکرون است. مقاومت اصطکاکی آزمایشگاهی این اتصال برابر ۱۱/۸۲ تن است که در جابه جایی ۰/۴ میلی متر اتفاق می افتد و پس از لغزش سطوح، مقاومت اتصال تا ۶ تن کاهش پیدا می کند. این مقادیر نشان می دهد که ضخامت ۴۰ میکرون، مقاومت اتصال اصطکاکی را به شدت کاهش می دهد. روند افزایش مقاومت در جابه جایی ۲/۳ میلی متر شروع می شود. در مبحث دهم مقررات ملی، ضخامت رنگ ۴۰ میکرون برای ناحیه ی اتصال اصطکاکی مجاز نیست.



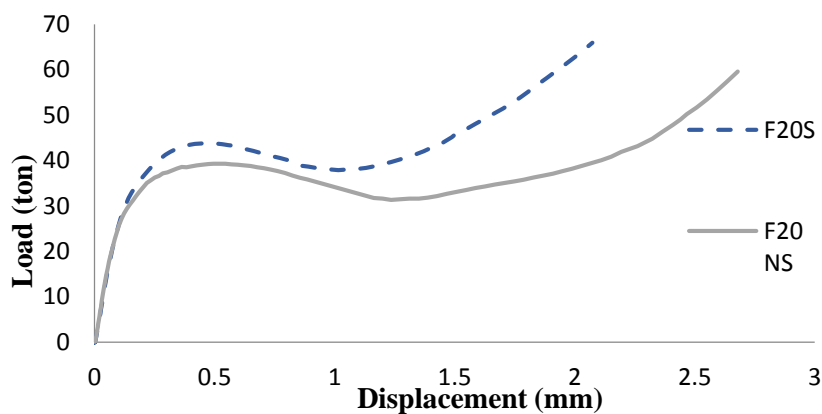
شکل ۸ منحنی نیرو- جابه جایی اتصال نمونه ی F16 C40



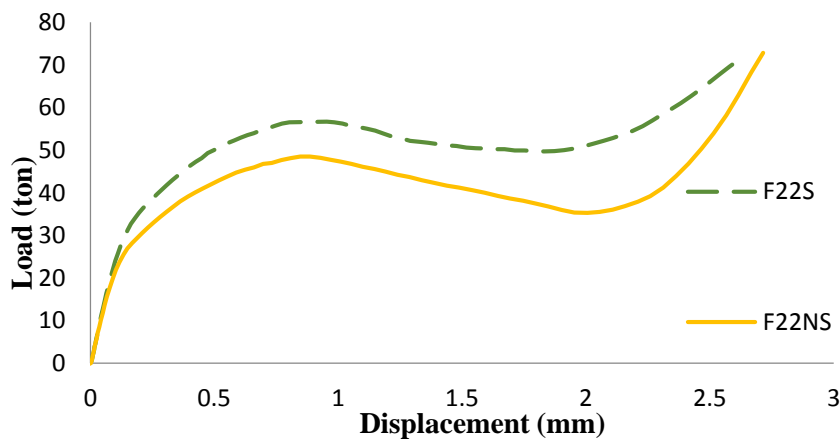
شکل ۹ مقایسه ی منحنی نیرو- جابه جایی اتصالات با پیچ ۱۶ میلی متر و سطوح غیر آج دار



شکل ۱۰ مقایسه‌ی منحنی نیرو- جابه‌جایی اتصالات با پیچ ۱۶ میلی‌متر و سطوح آج‌دار



شکل ۱۱ مقایسه‌ی منحنی نیرو- جابه‌جایی اتصالات با پیچ ۲۰ میلی‌متر



شکل ۱۲ مقایسه‌ی منحنی نیرو- جابه‌جایی اتصالات با پیچ ۲۲ میلی‌متر

میلی متر است.

جدول ۲ مقایسه‌ی مقدار جابه‌جایی نمونه‌های آج‌دار

نام نمونه	جابه‌جایی (mm)
F16Tr1	۰/۱۹۸۵
F16Tr1.5	۰/۰۹۲۹
F16Sq1	۰/۰۱۳۰
F16Sq1.5	۰/۰۱۲۳

در شکل (۱۱) نتایج حاصل برای نمونه‌ها با قطر M20 ارائه شده‌است. برای نمونه‌ی F20S، مقاومت حاصل از آزمایش برابر ۴۳/۷۸ تن به‌دست آمد. مقاومت اصطکاکی این اتصال براساس ضوابط پیشنهادی مبحث دهم مقررات ملی با سطح تماس کلاس B (ماسه‌پاشی شده و رنگ‌نشده) برابر ۴۰/۴۵ تن تعیین گردید. برای این نمونه نیز مقادیر آزمایشگاهی بیشتر بود. هم‌چنین برای نمونه‌ی F20NS مقاومت اصطکاکی از آزمایش ۳۹/۳۱ تن به‌دست آمد.

در شکل (۱۲) نتایج به‌دست آمده برای نمونه‌های با قطر M22 ارائه شده‌است. نمونه‌ی F22S شامل پیچ‌های سایز M22 پر مقاومت و نوع سطح تماس سندبلاست شده است که مقاومت اصطکاکی آزمایشگاهی آن برابر ۵۶/۶۸ تن است. مقاومت اصطکاکی این اتصال با سطح تماس کلاس B (ماسه‌پاشی شده و رنگ‌نشده) برابر ۴۹/۹۴ تن محاسبه شد. برای این نمونه نیز مقادیر آزمایشگاهی بیشتر از مقادیر آئین‌نامه‌ای بود. هم‌چنین برای نمونه‌ی F22NS مقاومت اصطکاکی حاصل از آزمایش برابر ۴۸/۵۳ تن به‌دست آمد.

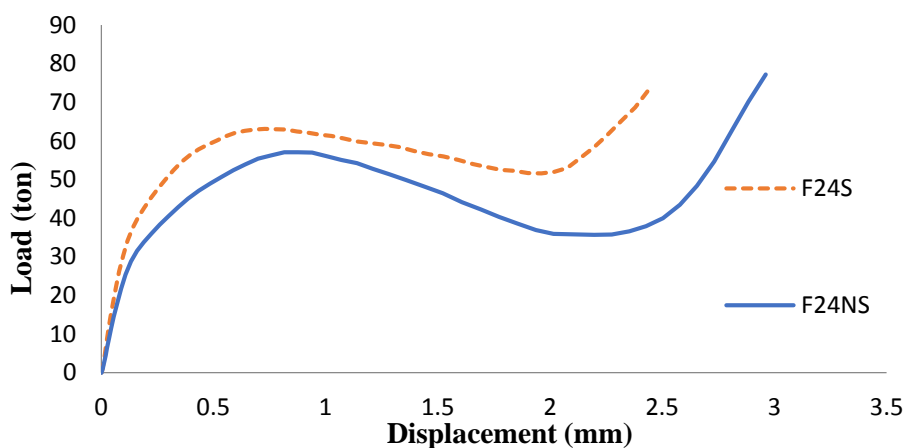
شکل (۱۳) مربوط به نمونه‌های با قطر M24 است. نمونه‌ی F24S شامل پیچ‌های سایز M24 پر مقاومت و نوع سطح تماس سندبلاست شده است که مقاومت اصطکاکی آزمایشگاهی آن برابر ۶۳/۰۹ تن و میزان مقاومت اصطکاکی محاسباتی آن در وضعیت کلاس B، برابر ۵۸/۱۰ تن تعیین شد. نمونه‌ی F24NS شامل پیچ‌های سایز M24 پر مقاومت و نوع سطح تماس سندبلاست نشده است که مقاومت اصطکاکی آزمایشگاهی آن برابر ۵۷/۰۹ تن است.

در شکل (۱۰) نتایج مربوط به نمونه‌های با پیچ M16 و سطوح آج‌دار مختلف ارائه شده‌است. برای مقایسه بین نمونه‌های با سطوح آج‌دار در ناحیه‌ی اتصال، از آج‌های به شکل مثلث و مربع با گام ۳ میلی‌متر و ارتفاع‌های ۱ و ۱/۵ میلی‌متر استفاده شد. به‌دلیل محدودیت در بارگذاری، تمامی نمونه‌ها تا ۷۰ تن بارگذاری شدند.

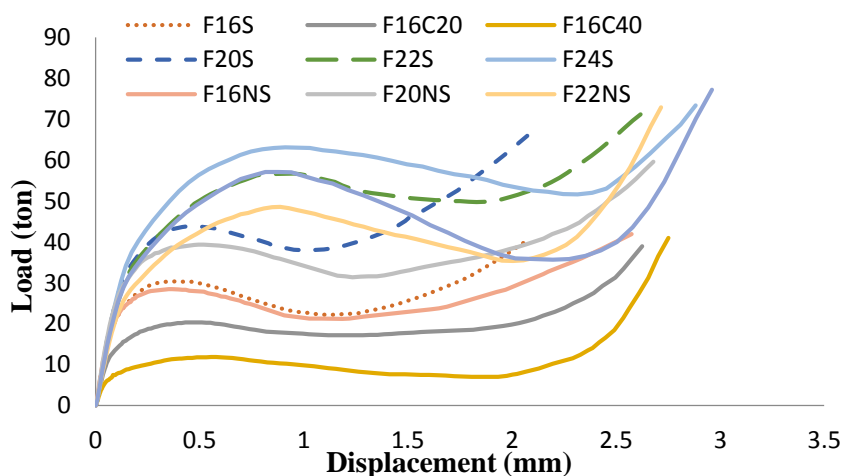
شکل (۱۰) نشان می‌دهد که اتصالات با سطوح آج‌دار مقاومت اصطکاکی را به‌میزان قابل توجهی افزایش می‌دهد. به‌نظر می‌رسد تا نیروی ۷۰ تن هنوز مقاومت اصطکاکی حاصل نشده‌است و اگر آزمایش ادامه پیدا می‌کرد مقاومت بیشتری از اتصال بروز پیدا می‌کرد. هم‌چنین از شکل (۱۰) می‌توان نتیجه گرفت که میزان سختی و مقاومت اتصال با آج مربعی بسیار بیشتر از اتصال با آج مثلثی است. در عین حال در یک بار ثابت، میزان جابه‌جایی اتصال با آج مربعی کمتر از اتصال با آج مثلثی است. مطابق این شکل هرچه ارتفاع آج مثلثی بیشتر باشد، رفتار اتصال به رفتار اتصال مربعی نزدیک‌تر می‌شود؛ زیرا هرچه ارتفاع آج بیشتر باشد درگیری آج‌ها بیشتر می‌شود، بنابراین جابه‌جایی اتصال در نیروی‌های یکسان کمتر می‌شود. در نمونه‌ی F16Tr1 شیب منحنی نیرو-جابه‌جایی بسیار زیاد است که بیانگر سختی بسیار زیاد اتصال در ناحیه‌ی الاستیک است. سختی اتصال به‌دلیل وجود آج در ناحیه‌ی سطح تماس اتصال و نیروی پیش‌تندیدگی در پیچ‌ها، اجازه‌ی تغییر مکان و جابه‌جایی در اتصال را نمی‌دهد؛ زیرا با قفل و چفت شدن آج‌ها در یکدیگر، جابه‌جایی‌ها بسیار ناچیز می‌شود و به‌ازای جابه‌جایی بسیار کم، مقاومت اتصال بسیار زیاد خواهد شد. مطابق آزمایش‌های انجام شده، جابه‌جایی نمونه‌ی F16Tr1 به‌ازای نیروی ۶۰ تن برابر ۰/۱۹۸ میلی‌متر و برای نمونه‌ی F16Tr1.5 برابر ۰/۰۹۲ میلی‌متر است. در جدول (۲) مقدار جابه‌جایی نمونه‌های آج‌دار در نیروی اعمالی ۶۰ تن با هم مقایسه شده‌است. همان‌گونه که از جدول پیداست بیشترین جابه‌جایی مربوط به آج مثلثی به عمق ۱ میلی‌متر و کمترین جابه‌جایی مربوط به آج مربعی با عمق ۱/۵

مقاومت را به دلایل بالاتر بودن نیروی پیش‌تندیدگی و ضریب اصطکاک دارا بود درحالی‌که نمونه با ضخامت ۴۰ میکرون رنگ با سایز پیچ ۱۶ میلی‌متر کمترین مقاومت را به دلایل کمترین پیش‌تندیدگی و ضریب اصطکاک داشت. با توجه به منحنی‌ها شیب همه‌ی نمونه‌ها بعد از حدود ۲ میلی‌متر جابه‌جایی دچار تغییر و سیر صعودی می‌شوند که به منزله‌ی ورود اتصال به ناحیه‌ی اتکایی است.

در شکل (۱۴) و جدول (۳) نتایج حاصل از آزمایش‌ها برای تمامی نمونه‌ها با سطوح غیرآج‌دار مقایسه شده است. از این منحنی‌ها می‌توان نتیجه‌گیری کرد که دو عامل در ظرفیت باربری اتصالات اصطکاکی پیچی بیشتر تأثیرگذار است؛ عامل اول نیروی پیش‌تندیدگی روی پیچ و عامل دوم ضریب اصطکاک بین سطوح اتصال است، بنابراین هرچه این دو مقدار بیشتر باشند، میزان ظرفیت باربری نمونه بیشتر می‌شود. نمونه‌ی سندبلاست شده با پیچ ۲۴ میلی‌متر، بیشترین



شکل ۱۳ مقایسه‌ی منحنی نیرو- جابه‌جایی اتصالات با پیچ ۲۴ میلی‌متر



شکل ۱۴ مقایسه‌ی منحنی نیرو- جابه‌جایی اتصالات با سطوح غیرآج‌دار

جدول ۳ نتایج مربوط به اتصالات پیچی اصطکاکی با سطوح بدون آج

نام نمونه	آستانه لغزش (mm) ایستایی	مقاومت اتصال (ton) اصطکاکی	جابه‌جایی در آستانه‌ی (mm) اتکایی	مقاومت در آستانه‌ی (ton) اتکایی
F16C40	۰/۵۵	۱۱/۸۲	۱/۸۸۹	۶/۹۷
F16C20	۰/۴۳	۲۰/۳۲	۱/۲۴۸	۱۷/۱۸
F16NS	۰/۳۸	۲۵/۸۸	۱/۱۸۵	۲۱/۱۷۸
F16S	۰/۳۶	۳۰/۳۳	۱/۱۳۴	۲۲/۱۵
F20NS	۰/۴۹	۳۹/۳۱	۱/۲۳۴	۳۱/۲۹۸
F20S	۰/۴۶	۴۳/۷۸	۱/۰۱۵	۳۷/۸۸۶
F22NS	۰/۸۸۶	۴۸/۵۳	۲/۰۵۷	۳۵/۳۰
F22S	۰/۷۵۷	۵۶/۶۸	۱/۸۴۶	۴۹/۶۹۲
F24NS	۰/۸۱	۵۷/۰۹	۲/۱۹۷	۳۵/۶۴
F24S	۰/۷۲۸	۶۳/۰۹۳	۲/۹۶۱	۵۱/۶۰

### نتیجه‌گیری

هدف این تحقیق ارزیابی آزمایشگاهی تأثیر نوع سطح تماس ورق‌ها بر مقاومت اصطکاکی اتصالات پیچی و هم‌چنین پیشنهاد سطوح تماس جدید به منظور افزایش ظرفیت باربری اصطکاکی است. برای این منظور ۱۴ نمونه از اتصالات پیچی اصطکاکی با سطوح تماس مختلف انتخاب گردید و تحت آزمایش قرار گرفت. سطوح تماسی که در این تحقیق مورد بررسی قرار گرفتند عبارتند از: سطح تماس ماسه‌پاشی‌شده، ماسه‌پاشی‌نشده، رنگ با ضخامت ۲۰ میکرون، رنگ با ضخامت ۴۰ میکرون، سطح آج‌دار مثلی و سطح آج‌دار مربعی. نتایج به دست آمده از این آزمایش عبارتند از:

۱. در مورد مقاومت اتصالات پیچی، مقادیر پیشنهادی در مبحث دهم مقررات ملی ساختمان محافظه کارانه است.

۲. در اتصالات پیچی اصطکاکی، سطوح آج‌دار بیشترین مقاومت اصطکاکی را دارند. در ضمن، آج مربعی

نسبت به آج مثلی سختی عملکرد بهتری دارد. ۳. باتوجه به مقاومت اصطکاکی بالای سطوح آج‌دار می‌توان از آن برای طراحی اتصالات ساختمان‌هایی با اهمیت خیلی زیاد در برابر زلزله استفاده نمود. ۴. نسبت مقاومت اصطکاکی نمونه‌های ماسه‌پاشی‌شده، به مقاومت اصطکاکی نمونه‌های ماسه‌پاشی‌نشده و رنگ‌شده با ۲۰ و ۴۰ میکرون رنگ به ترتیب برابر ۱/۲، ۱/۵، و ۲/۵ می‌باشد.

۵. باتوجه به نتایج این تحقیق، پیشنهاد می‌شود در طراحی اتصالات پیچی اصطکاکی با ۲۰ میکرون رنگ، ضریب اصطکاک برابر ۰/۳۵ در نظر گرفته شود.

### تقدیر و تشکر

آزمایش‌های این تحقیق در آزمایشگاه گروه صنعتی ماد سا انجام شده است و شایسته است که از زحمات مسئولان این آزمایشگاه تقدیر و تشکر گردد.

### مراجع

- Iranian National Building Codes Compilation Office, "Iranian National Building Code, Part 10: steel structure design", Ministry of Housing and Urban Development, (2014).
- Zeynali, Y., Samimi, M. J., Mazroei, A., Marnani, J. A., and Rohanimanesh, M. S., "Experimental and

- Numerical Study of Frictional Effects on Block Shear Fracture of Steel Gusset Plates with Bolted Connections", *Thin-Walled Struct.*, Vol. 121, Pp. 8–24, (2017).
3. Couchaux, M., Hjiat, M., Ryan, I., and Bureau, A., "Effect of Contact on the Elastic Behaviour of Tensile Bolted Connections", *J. Constr. Steel Res.*, Vol. 133, Pp. 459–474, (2017).
  4. Rodgers, G. W., Chase, J. G., Causse, R., Chanchi, J., and MacRae, G. A., "Performance and Degradation of Sliding Steel Friction Connections: Impact of Velocity, Corrosion Coating and Shim Material", *Eng. Struct.*, Vol. 141, Pp. 292–302, (2017).
  5. Guo, X., Zhang, Y., Xiong, Z., and Xiang, Y., "Load-bearing Capacity of Occlusive High-strength Bolt Connections", *J. Constr. Steel Res.*, Vol. 127, Pp. 1–14, (2016).
  6. Hu, Y., Shen, L., Nie, S., Yang, B., and Sha, W., "FE Simulation and Experimental Tests of High-strength Structural Bolts under Tension", *J. Constr. Steel Res.*, Vol. 126, Pp. 174–186, (2016).
  7. Shahani, A. R., and Shakeri, I., "Experimental Evaluation of the Effect of Preload on the Fatigue Life of Bolts", *Int. J. Steel Struct.*, Vol. 15, No. 3, Pp. 693–701, (2015).
  8. Kim, I.-T., Lee, J. M., Huh, J., and Ahn, J.-H., "Tensile Behaviors of Friction Bolt Connection with Bolt Head Corrosion Damage: Experimental Research B", *Eng. Fail. Anal.*, Vol. 59, Pp. 526–543, (2016).
  9. Wei, F., Fang, C., Yam, M. C. H., and Zhang, Y., "Fracture Behaviour and Design of Steel Tensile Connections with Staggered Bolt Arrangements", *Int. J. steel Struct.*, Vol. 15, No. 4, Pp. 863–879, (2015).
  10. Wang, Y.-B., Lyu, Y.-F., Li, G.-Q., and Liew, J. Y. R., "Behavior of Single Bolt Bearing on High Strength Steel Plate", *J. Constr. Steel Res.*, Vol. 137, Pp. 19–30, (2017).

